

# Fundamentos de Processamento de Imagens

## Laboratorio 3

Nome: João Pedro Cosme da Silva / Cartão 0031472

## Introdução

O presente relatório tem como objetivo demonstrar as atividades realizadas no Laboratorio 3, com o objetivo de criar uma intuição sobre a representação dos espectros obtidos através da utilização da transformada de Fourier.

## Método Base

O método utilizado para obter os resultados amostrados abaixo, é o seguinte:

```
function show_image_and_fft(path)

    figure();
    subplot(1,3,1);
    img = imread(path);
    imshow(img);
    title("Imagem original");
    subplot(1,3,2);
    imshow(log(abs(fftshift(fft2(img))))), []);
    title("Espectro");
    subplot(1,3,3);
    inversa = ifft2(fft2(img));
    imshow(inversa);
    title("Inversa da transformada");
```

## Delta Origin e White Square

## Função Impulso em 2D

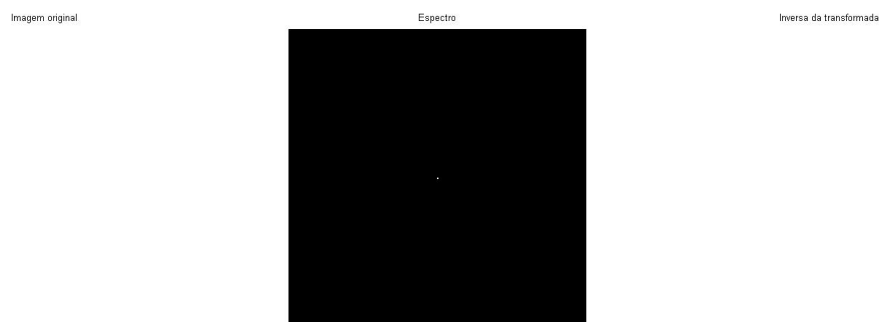
Conforme pode ser visto na imagem abaixo, uma função impulso em 2D é representada por um único pixel na origem (que em 2D se situa em  $(0,0)$ ). Porém, diferente do que foi visto no domínio

frequência, aqui a função impulso está escalada em 255, isso foi realizado para facilitar sua visualização a olho nu, já que um pixel com uma intensidade tão baixa quanto 1 não seria facilmente percebido. Nesta primeira imagem, foi realizado um *zoom* para que se pudesse verificar o pixel de origem.



### Imagem 1: Delta

O mesmo vale para a função constante (White Square). Que no domínio frequência seria um sinal constante de valor  $1$ .



### Imagem 2: White Square

# Relação entre as funções

Ambas representam possíveis operações que poderíamos realizar quando estamos trabalhando com sinais no domínio frequência. A função impulso seria usada para multiplicar um sinal no domínio frequência a fim de amostra-lo, já a função constante serviria para reproduzirmos exatamente o sinal fonte.

Pelo Teorema da Convolução, pode-se entender que ambas as imagens vistas poderiam ser usadas para realizar exatamente o mesmo processo (de amostragem e operação neutra) no domínio espacial, porém ao invés de uma multiplicação ponto a ponto no domínio frequência, aqui deveríamos realizar operações de convolução e escalar o resultado dividindo-o por 255 para que obtivéssemos o mesmo resultado.

## Recuperação das Imagens Originais

Como podemos ver nas imagens acima, é possível sim recuperar as imagens originais através da aplicação da transformada inversa de Fourier. Isso se dá devida a linearidade da transformada de Fourier e a preservação da energia original da imagem.

# Transformada Inversa

Os resultados abaixo foram obtidos através do uso do seguinte código:

```
figure()  
img = imread("bw_delta_origin.bmp");  
subplot(1,2,1);  
imshow(abs(iff2(img)));  
title("Inversa do Delta");  
img = imread("bw_white_sqr.bmp");  
subplot(1,2,2);  
imshow(abs(iff2(img)));  
title("Inversa do Quadrado Branco");
```

Resultado:

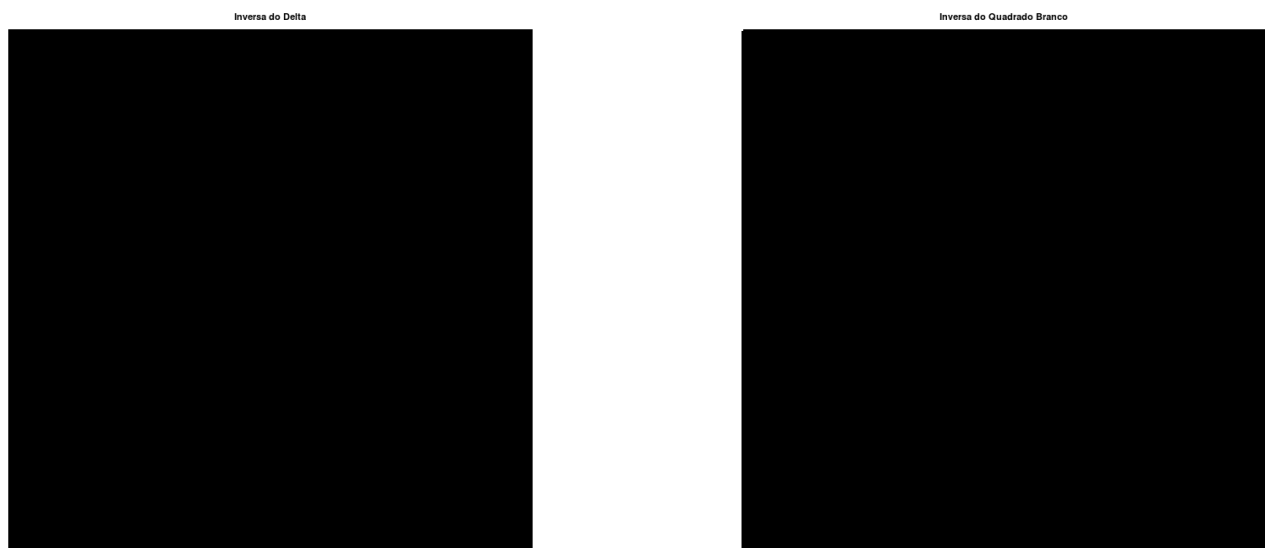


Imagem 3: Inversas do Delta e da função Constante

Como podemos visualizar, a inversa da função delta\_origin é uma imagem bastante escura. Já a inversa da imagem do quadrado branco é uma função constante que se encontra na origem, isso se deve ao fato de que a transformada de Fourier de um filtro pente é uma função constante, logo, a inversa de uma função constante deveria ser um filtro pente. Logo, se confirma experimentalmente esta propriedade.

A IDFT para o domínio do 2D é a seguinte, conforme retirado dos slides da disciplina:

$$f[x, y] = \frac{1}{MN} \sum_{u=0}^{M-1} \sum_{v=0}^{N-1} F[u, v] e^{i2\pi \left( \frac{ux}{M} + \frac{yv}{N} \right)}$$

Imagem 4: IDFT em 2D

O valor `c = 0.0039`, se dá devido a escalação do resultado obtido por  $\frac{1}{MN}$ , que neste caso resulta no valor  $\frac{1}{255 \times 255}$ . Porém, o resultado final ainda deve ser escalado em 255 (já que o sinal de origem está escalado nesta proporção), resultando assim no valor de `c` encontrado.

## DFT de Imagens Periodicas Horizontais e Verticais

Conforme pode ser visto na imagem abaixo, o resultado da aplicação da transformada de Fourier as imagens onde há sinais puramente verticais ou horizontais. Em ambos os casos, após a aplicação de `fftshift`, obtivemos um tracejado iniciado na origem e reduzindo a medida que se afasta dela. Para estes resultados, foi utilizada a função `show_image_and_fft`.

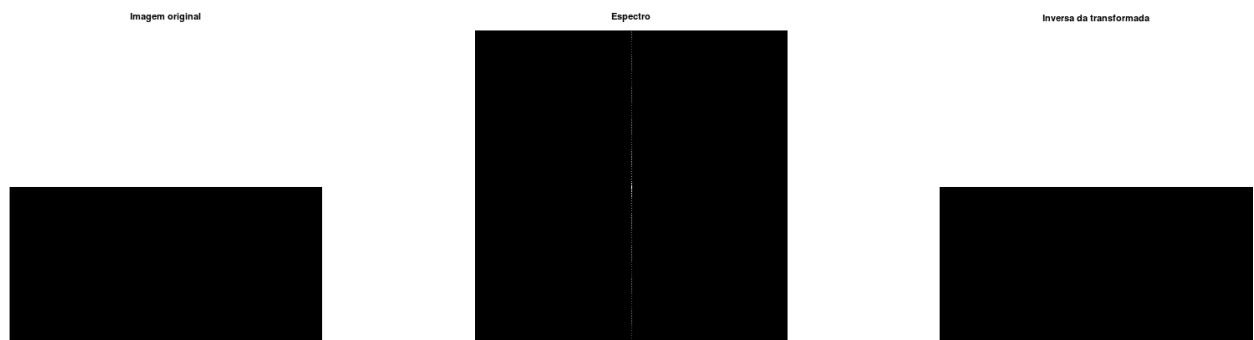


Imagem 5: Horizontal

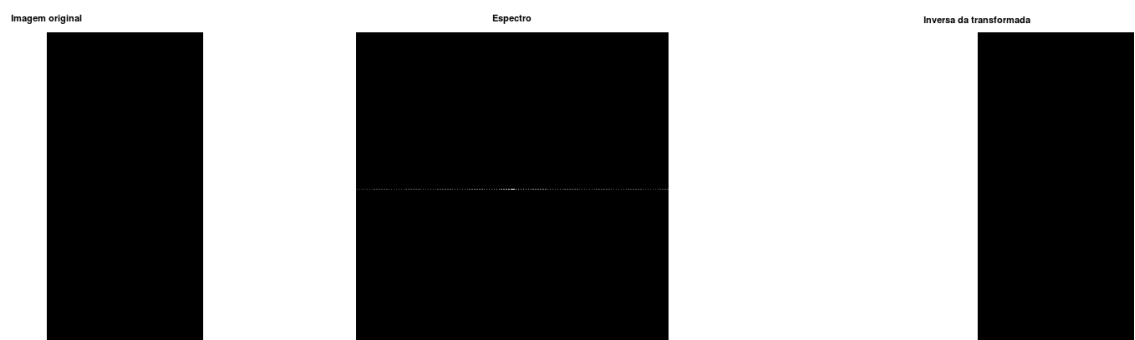


Imagem 6: Vertical

Isso ocorre pois a aproximação de uma onda quadrada, conforme visto em aula, é uma função puramente imaginaria (ou seja, composta apenas por senos), cuja representação é dada pela série Taylor centrada em zero, com os seguintes valores:

$$P(x) = \frac{x}{1!} - \frac{x^3}{3!} + \frac{x^5}{5!} - \frac{x^7}{7!} + \frac{x^9}{9!} - \frac{x^{11}}{11!} + \dots$$

Imagem 7: Aproximação da função seno

A imagem obtida utiliza o comando `abs`, logo é possível verificar as componentes negativas deste polinômio, porém, é possível verificar que as componentes com divisores par desta função são zero.

## Relação entre arestas no domínio frequência e a imagem fonte

Podemos observar que, ao aplicarmos a transformada de fourier em imagens onde existem arestas bem definidas, surge uma reta com mesma orientação da função de transição de origem. Por exemplo, na imagem `bw_vertical`, quando a imagem é visualizada enquanto um período de um sinal de origem caracterizado por infinitas cópias de mesma imagem, percebe-se que não há transição de valores no sentido vertical. Porém, no sentido horizontal temos a constante transição(abrupta) entre os valores 255 e 0, o que gera a reta vista no espectro, conforme descrito no item anterior.

Já aplicando a função `show_image_and_fft`, a imagem `bw_triangle.bmp`, temos o seguinte resultado:

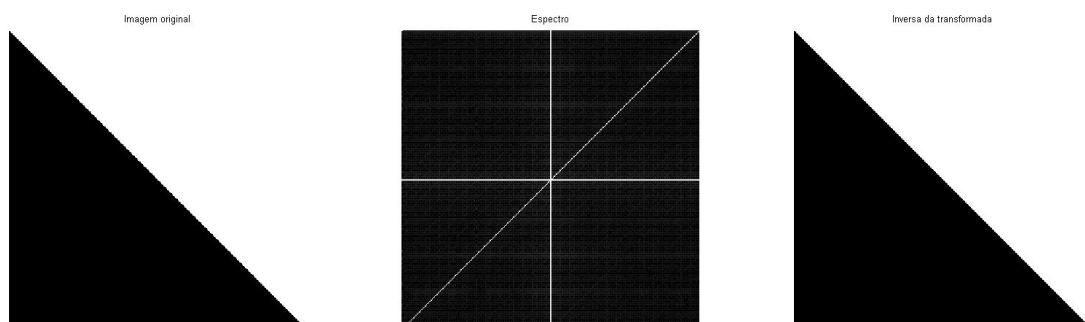


Imagem 7: Triângulo

Aqui, podemos ver que além das retas descritas nas imagens anteriores, apresentamos uma nova

linha diagonal de *sentido oposto* a alteração vista em tela. Este resultado se dá ao fato de que, ao contrario das imagens anteriores, começamos a ter mudanças simultaneas nos dois sentidos, logo, começamos a ter componentes reais nos coeficientes que geram esta aresta no dominio frequencia.

## Espectro do Cameraman

A imagem abaixo foi gerada utilizando a função `show_image_and_fft`, porém omitindo a sua inversa já que não é interessante para esta discussão.

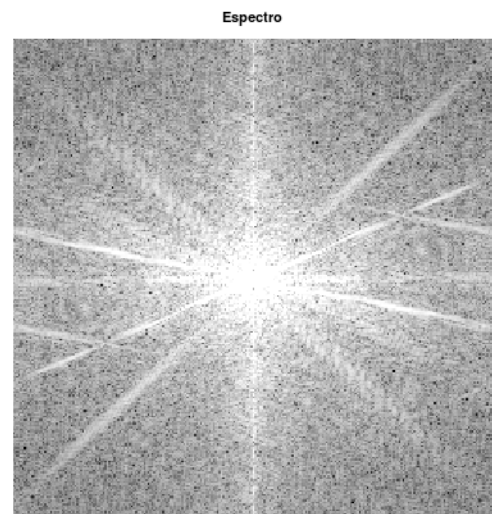


Imagem 8: Cameraman

Aqui, podemos ver um espectro bem mais rico e diverso que o visto anteriormente, devido a quantidade de detalhes vistos na imagem original. Agora, podemos começar a perceber a correlação entre algumas fontes originais.

Suponho que as linhas nas diagonais se formem principalmente devido as transições tanto entre o cameraman e o fundo, como quanto entre a o tripé da camera e o fundo.

# Operações Lineares no Dominio Frequncia

As operações ponto a ponto lineares, vistas anteriormente no curso, também podem ser aplicadas no dominio frquencia em 2D. Nestes casos, as operações de ajuste de brilho, contraste e obtenção do negativo podem ser vistos a seguir:

## Ajuste de Brilho

O ajuste de brilho pode ser feito apenas deslocando o coeficiente  $F[0]$  dos coeficientes de Fourier encontrados para uma imagem.

Este processo foi realizado utilizando o seguinte código:

```
figure();
subplot(2,2,1);
img = imread('cameraman.tif');
[rows, columns] = size(img);
imshow(img);
title('Imagem original');
subplot(2,2,2);
img_ft = fft2(img);
imshow(log(abs(fftshift(img_ft))), [3 10]);
title('Espectro');
subplot(2,2,3);
img_brilho = img_ft;
img_brilho(1) =img_brilho(1)+100*rows*columns;
imshow(uint8(iff2(img_brilho)));
title('Aumento de brilho');
subplot(2,2,4);
img_brilho = img_ft;
img_brilho(1) =img_brilho(1)-100*rows*columns;
imshow(uint8(iff2(img_brilho)));
title('Redução de brilho');
```

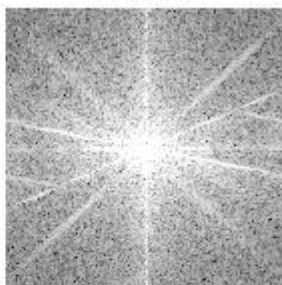


E o resultado segue abaixo:

Imagem original



Espectro



Aumento de brilho



Redução de brilho



Imagem 9: Ajuste de brilho

# Ajuste de Contraste

Já o ajuste de contraste deve ser aplicado de maneira contínua em todos os coeficientes da imagem fonte, para que possamos garantir a homogenização desta operação.

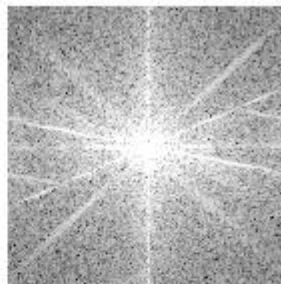
```
figure();
subplot(2,2,1);
imshow(img);
title('Imagem original');
subplot(2,2,2);
img_ft = fft2(img);
imshow(log(abs(fftshift(img_ft))), [3 10]));
title('Espectro');
subplot(2,2,3);
img_contraste = img_ft;
imshow(uint8(iff2(img_contraste*1.5)));
title('Aumento de ccontraste');
subplot(2,2,4);
imshow(uint8(iff2(img_contraste*0.5)));
title('Redução de contraste');
```

E obtemos o seguinte resultado:

Imagem original



Espectro



Aumento de ccontraste



Redução de contraste



Imagem 10: Ajuste de contraste

# Negativo

A operação de cálculo do negativo de uma imagem é uma combinação das duas operações seguintes: o ganho é aplicado a todos os coeficientes enquanto o bias apenas a  $F[0]$ .

Desta forma, uma imagem cinza pode ser convertida para negativo com o seguinte código:

```
figure();
subplot(1,2,1);
imshow(img);
title('Imagem original');
subplot(1,2,2);
img_ft = fft2(img);
img_ft = - img_ft;
img_ft(1) = 255 * rows * columns + img_ft(1);
imshow(uint8(iff2(img_ft)));
title('Negativo');
```

E o resultado é o seguinte



Imagem 11: Calculo de Negativo

Já em uma imagem colorida, devemos aplicar essa mesma operação em todos os três canais de uma imagem, e em seguida recombina-los para obtermos o negativo de maneira adequada:

```
figure();
img = imread('kitty.png');
[rows, columns, numberOfChannels] = size(img);
subplot(1,2,1);
imshow(img);
title('Imagem original');
ft_red = fft2(img(:,:,1));
ft_green = fft2(img(:,:,2));
ft_blue = fft2(img(:,:,3));

ft_red = - ft_red;
ft_red(1) = 255 * rows * columns + ft_red(1);

ft_green = - ft_green;
ft_green(1) = 255 * rows * columns + ft_green(1);

ft_blue = - ft_blue;
ft_blue(1) = 255 * rows * columns + ft_blue(1);

reconst = uint8(cat(3, ifft2(ft_red), ifft2(ft_green), ifft2(ft_blue)));
subplot(1,2,2);
imshow(reconst);
title('Negativo');
```

Obtendo-se assim, o resultado visto abaixo:

Imagem original



Negativo



Imagem 12: Calculo de Negativo em RGB

# Rotação do Cameraman

Aqui, a seguinte função foi utilizada para os experimentos:

```
function show_rotated_image(degrees)

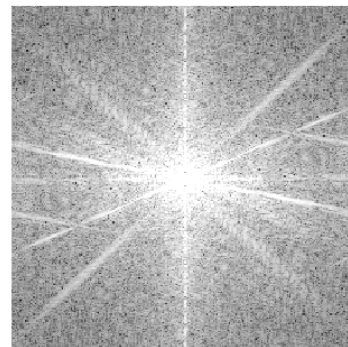
    figure();
    subplot(2,2,1);
    img = imread("cameraman.tif");
    imshow(img);
    title("Imagem original");
    subplot(2,2,2);
    imshow(log(abs(fftshift(fft2(img))))),[3 10]);
    title("Espectro");
    cman_rot = imrotate(img, degrees, 'bilinear', 'crop');
    title("Imagem rotacionada");
    subplot(2,2,3);
    imshow(cman_rot);
    subplot(2,2,4);
    imshow(log(abs(fftshift(fft2(cman_rot))))),[3 10]);
    title("Espectro da imagem rotacionada");
```

Abaixo, seguem os resultados para 45, 90 e 120 graus de rotação:

Imagem original



Imagem rotacionada



Espectro da imagem rotacionada

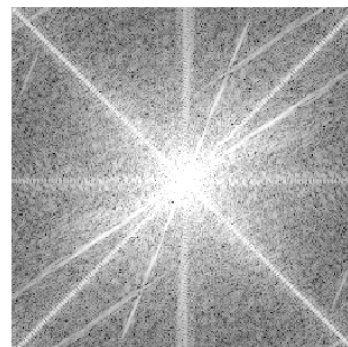
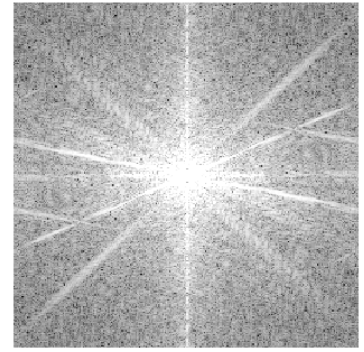


Imagem 12: Cameraman em 45 graus

Imagem original



Imagem rotacionada



Espectro da imagem rotacionada

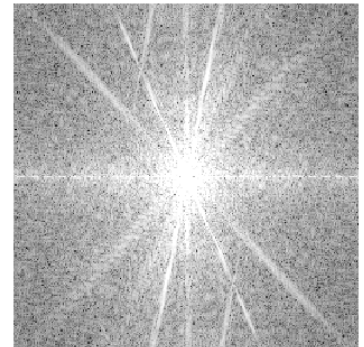


Imagem 13: Cameraman em 90 graus

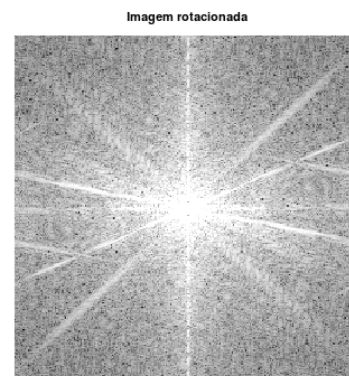


Imagem 14: Cameraman em 120 graus

Podemos perceber, na rotação de 90 graus, que o espectro da imagem rotacionada em 90 graus corresponde precisamente a se rotação da imagem do espectro da imagem original. Isto é possível devida a linearidade da transformada de Fourier, onde podemos ver que, mesmo deslocando os pixels originais, ainda obtivemos a mesma transformada.

Já nas imagens de 45 e 120 graus, podemos perceber que novos elementos foram adicionados ao espectro. Isso se deve as novas bordas geradas pelo matlab para ajustar a imagem rotacionada a moldura. Dessa forma, a DFT repete estes "vacuos" em seu entendimento da função imagem, e, ao aplicar a DFT, também representa estas transições no domínio frequência.